

PACS numbers: 07.35.+k, 62.20.Qp, 68.35.Ct, 68.35.Np, 81.15.Gh, 81.40.Pq, 81.70.Pg

## **Порівняльні дослідження плазмохемічних плівок SiCN, одержаних із різних прекурсорів**

Л. А. Іващенко, В. І. Іващенко, О. К. Порада, М. В. Карпець,  
О. О. Бутенко, І. М. Закієв

*Інститут проблем матеріалознавства НАН України,  
вул. Кржижанівського, 3,  
03142 Київ, Україна*

Виконано дослідження впливу природи прекурсору на основні фізичні і трибологічні характеристики плівок SiCN, одержаних методою газофазового осадження, активованого високочастотною плазмою (PECVD). Для порівняння обрано такі рідкі вихідні матеріали, як метилтрихльоросилан (MTXC) і гексаметилдісолан (ГМДС). Вивчено вплив природи прекурсору на фазовий склад, характер міжатомової взаємодії, а також проаналізовано зносостійкість, коефіцієнт тертя при дряпанні діямантовою пірамідкою плівок SiCN, адгезію і шорсткість поверхні плівок. Встановлено, що структура плівок (nanoструктура MTXC-плівок і аморфність ГМДС-плівок) суттєво впливає на зносостійкість покриттів SiCN. Аморфні ГМДС-плівки мають у 2 рази нижчу зносостійкість, ніж нанокристалічні MTXC-плівки. Дослідження коливань зв'язків у ГМДС- і MTXC-плівках на основі аналізи інфрачервоних спектрів (FTIR) показало кореляцію між посиленням зв'язків Si—C в плівках і трибологічними характеристиками. Припускається, що наявність хльору в MTXC-плівках впливає на зниження шорсткості поверхні і пониження коефіцієнту тертя.

Comparative analysis of physical and tribological properties of PECVD SiCN films deposited using different precursors, namely, methyltrichlorosilane (MTCS) and hexamethyldisilane (GMDS) is performed. An influence of precursor nature on phase composition, character of interatomic interaction, and tribological properties are analyzed. The wear resistance, friction coefficient, adhesion, and roughness of SiCN films are investigated using ball-on-plane and scratch tests. As shown, the film structure (nanostructure of MTCS films and amorphous structure of GMDS films) essentially influences wear resistance of SiCN coatings. As revealed, the amorphous GMDS films possess twice-lower wear resistance as compared to that of nanocrystalline MTCS films. Investigation of vibrational bonds in the films (that is based on the analysis of infrared absorption spectra—FTIR) shows that strengthening of Si—C bonds in films correlates with their tribological properties. As sup-

posed, the presence of chlorine in MTCS films influences on reduction of surface roughness and friction coefficient.

Проведены исследования влияния природы прекурсора на основные физические и трибологические характеристики пленок SiCN, полученных методом газофазового осаждения, активированного высокочастотной плазмой (PECVD). Для сравнения выбраны такие жидкие исходные материалы, как метилтрихлорсилан (МТХС) и гексаметилдисилан (ГМДС). Изучено влияние природы прекурсора на фазовый состав и характер межатомного взаимодействия, а также проанализированы износостойчивость, коэффициент трения при царапании бриллиантовой пирамидкой пленок SiCN, адгезия и шершавость поверхности пленок. Установлено, что структура пленок (nanoструктура МТХС-пленок и аморфность ГМДС-пленок) существенно влияет на износостойчивость покрытий SiCN. Аморфные ГМДС-пленки имеют в 2 раза низшую износостойчивость, чем нанокристаллические МТХС-пленки. Исследование колебаний связей в ГМДС- и МТХС-пленках на основе анализа инфракрасных спектров (FTIR) показало корреляцию между усилением связей Si—C в пленках и трибологическими характеристиками. Предполагается, что наличие хлора в МТХС-пленках влияет на снижение шершавости поверхности и понижение коэффициента трения.

**Ключові слова:** метилтрихлорсилан, гексаметилдисилан, плівки нанокристалічного карбонітриду кремнію, зносостійкість, коефіцієнт тертя.

(*Одержано 24 січня 2009 р.*)

## 1. ВСТУП

Зносостійкі плівки карбонітриду кремнію (SiCN) викликають неабиякий інтерес широкого загалу дослідників завдяки високим механічним і напівпровідниковим властивостям [1–6]. Аналіза літературних даних [1–6] показує, що в процесах плазмохемічного осадження для одержання SiCN плівок такі рідкі прекурсори, як метилтрихлорсилан (МТХС,  $\text{CH}_3\text{SiCl}_3$ ) і гексаметилдисилан (ГМДС,  $[\text{CH}_3]_6\text{Si}_2$ ) використовуються вкрай рідко. Зважаючи на те, що гексаметилдисилан на відміну від метилтрихлорсилану не містить хльору, цікаво було б порівняти властивості ГМДС- і МТХС-плівок, одержаних PECVD методою при аналогічних основних параметрах осадження.

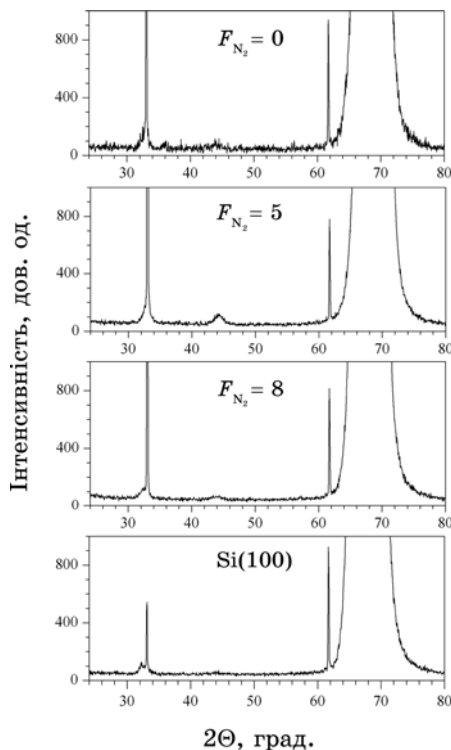
В роботі ми наводимо результати порівняльних досліджень SiCN плівок, осаджених із гексаметилдисилану (плівки не містять хльору) і метилтрихлорсилану (згідно Оже-аналізі наявність хльору в цих плівках становить до 3 ат. %), одержаних газофазовою методою осадження, активованим високочастотною плазмою (PECVD). Плівки охарактеризовано за допомогою Рентгеноної дифрактометрії, інфрачервоної спектрометрії, Рентгеноної фотоелектронної спектрометрії, тестів з дряпання, куля-шліф тестів і оптичного профілометра.

## 2. ДЕТАЛІ ЕКСПЕРИМЕНТУ

Плівки SiCN осаджували методою PECVD на підкладки із монокристалічного кремнію із МТХС і ГМДС в умовах, подібних до тих, що описані в попередній нашій роботі [6]. Зокрема, осадження здійснювалось при потоках азоту  $F_N$ , який змінювався від 0 до  $10 \text{ см}^3/\text{хв}$  і температурах підкладки ( $T_s = 350\text{--}400^\circ\text{C}$ ), при частоті ВЧ генератора 40,67 МГц. Робоча газова суміш — МТХС або ГМДС,  $\text{N}_2$  і  $\text{H}_2$ . Зміщення на підкладці  $-150 \text{ В}$  забезпечувалося 5,27 Мгц генератором. Товщина, шорсткість поверхні покріттів оцінювались оптичним мікропрофілометром «Мікрон-альфа». Товщина плівок становить  $0,2\text{--}0,7 \text{ мкм}$ . Структура і характер зв'язків вивчені з використанням Рентгеної дифракції (XRD), ДРОН-2. Аналіза хемічних зв'язків відбувалася за ГЧ спектрами (спектрометер Ft-801). Деталі трибомеханічних досліджень описані в роботі [6]. Ми лише зазнаємо, що коефіцієнт зносу покріттів оцінювався із куля-шліф (calowear) тестів (вивчення кратерів зносу після оброблення кулею-шліфом в присутності діамантової сусpenзії  $0,1 \text{ мкм}$ ). Адгезія і коефіцієнт тертя оцінювалися за тестами дряпання (scratch tests) на приладі «Мікрон-гамма» (Україна).

## 3. РЕЗУЛЬТАТИ ДОСЛІДЖЕНЬ

XRD дослідження плівок SiCN, одержаних з ГМДС, показали, що вони є рентгеноаморфними. В той же час дифракційний спектр МТХС плівки, осадженої за аналогічних умов (температура підкладки, потоки азоту, потенціял зміщення на підкладці), має невеликі піки, які можна пов'язати з нанокристалітами різних політипів. Дифракційний спектр МТХС плівки представлено на рис. 1. Порівняння рентгеноограм покритих і непокритих підкладок дало можливість виявити додатковий невеликий пік при  $2\Theta \sim 44^\circ$  на рентгеноGRAMах підкладок з SiCN покріттям. Пік чітко видно на рентгеноGRAMах SiCN покріттів, осаджених при  $F_N = 3\text{--}5 \text{ см}^3/\text{хв}^{-1}$ . Цей рефлекс відповідає міжплощинній віддалі  $d \sim 2,052 \text{ \AA}$ . Експериментальні і теоретичні величини  $d$ , знайдені із аналізу CN покріттів [7], є близькими до  $2,052 \text{ \AA}$ , і становлять  $2,07 \text{ \AA}$  і  $2,06 \text{ \AA}$ , відповідно. Вони відповідають дифракції (210)  $\beta\text{-C}_3\text{N}_4$  [050-1249]. Пік може бути також приписаний до (006) 5H-SiC ( $d = 2,050 \text{ \AA}$ ) [042-1360], (021)  $\text{Si}_5\text{C}_3$  ( $d = 2,024 \text{ \AA}$ ) [050-1349]. окрім цього, збільшення інтенсивності рефлексу при  $2\Theta = 33^\circ$  на рентгеноGRAMах плівок в порівнянні з рентгеноGRAMою підкладки, може вказувати на формування  $\alpha\text{-SiC}$  кристалітів [089-2213]. Зважаючи на ці дані, ми допускаємо, що піки біля  $33^\circ$  і  $44^\circ$  можуть вказувати на формування кристаликів  $\beta\text{-C}_3\text{N}_4$ , SiC в аморфній матриці SiCN. Розмір кристаликів, оцінений згідно формули Шерера для піку біля  $44^\circ$ , дорівнює приблизно  $4,2 \text{ нм}$ . Оскільки наша ідентифікація піків неоднозначна,



**Рис. 1.** XRD-спектри МТХС-плівок, осаджених при  $F_N = 0, 5$  і  $8 \text{ см}^3/\text{хв.}$ , в порівнянні із спектром підложжя Si(100).

для остаточних висновків необхідні додаткові дослідження, наприклад, вивчення Раманових спектрів. Такі дослідження планується провести найближчим часом.

Інфрачервоні спектри вбирання SiCN покріттів наведені на рис. 2. Вони чітко демонструють наявність Si–C-зв’язків біля  $770 \text{ см}^{-1}$  [6, 8]. Si–N коливання ( $870 \text{ см}^{-1}$ ,  $950 \text{ см}^{-1}$ ) дають також свій внесок у ширину зони вбирання [8]. Ймовірно, що в інфрачервоних спектрах SiCN покріттів, коливальні моди, що відносяться до різних C–N зв’язків, льокалізовані в межах  $1020$ – $1100 \text{ см}^{-1}$  [8]. Si–O-коливання льокалізовані біля  $1040 \text{ см}^{-1}$  [8]. Широка зона біля  $3350 \text{ см}^{-1}$  утворена N–H, або H–O коливаннями [8]. Таким чином, із рис. 2 видно, що помірні потоки азоту, які відповідають  $\sim 8 \text{ см}^3/\text{хв.}$  для ГМДС-покріттів та  $\sim 5 \text{ см}^3/\text{хв.}$  для МТХС покріттів сприяють посиленню Si–C-зв’язків, що підтверджується збільшенням інтенсивності Si–C-коливань. Для МТХС покріттів при подальшому збільшенні потоку азоту інтенсивність Si–C зони зменшується, натомість коливання при  $1000 \text{ см}^{-1}$  посилюються. Окрім цього, у спектрах вбирання з’являється широка зона N–H, H–O коливань (рис. 2, б). Ми допускаємо, що при великих

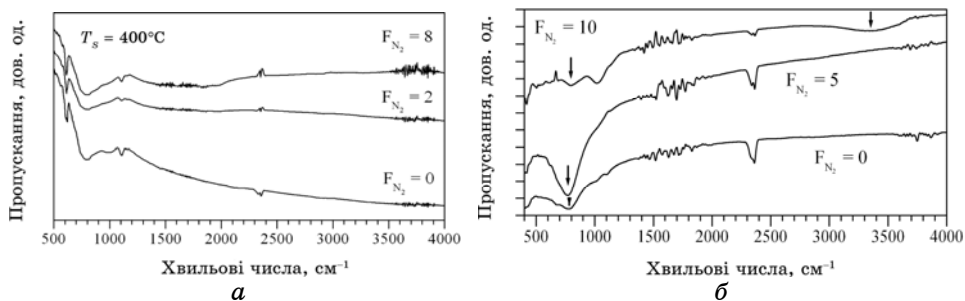


Рис. 2. Фур'є-перетвір інфрачервоних спектрів вирання (FTIR) ГМДС- (а) і МТХС- (б) SiCN-плівок, осаджених за різних потоків азоту  $F_N$ .

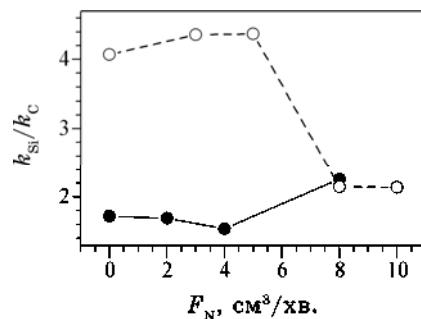


Рис. 3. Коефіцієнт зносостійкості відносно кремнійового підложжя ГМДС-плівок (темні кружальця) та МТХС-плівок (світлі кружальця) як функція швидкості потоку азоту  $F_N$ .

потоках азоту, інтенсивне бомбардування спричиняє утворення рихлої структури, котра після витримки на повітрі сильно адсорбує кисень.

Підсумовуючи результати рентгеноструктурних досліджень та дані за інфрачервоними спектрами, ми дійшли висновку, що SiCN покриття, одержані із МТХС і ГМДС, насичені азотом є аморфними. В той же час МТХС-покриття, осаджені при  $F_N \sim 3-5 \text{ cm}^3/\text{xv}$ ., можна розглядати як нанокристалічні.

Встановлено, що підвищення швидкості потоку азоту до певних значень при осадженні покриттів сприяє посиленню Si–C зв’язків. За таких умов слід очікувати поліпшення механічних властивостей, зокрема зносостійкості. Дійсно, із рис. 3, де наведені результати куля-шліф тестів обох типів покриттів, видно, що зносостійкість покриттів відносно кремнійової підкладки максимальна для покриттів, котрі мають найчіткішу Si–C зону вирання в інфрачервоних спектрах (рис. 2).

Окрім зв’язків, очевидно на абразивну зносостійкість SiCN по-

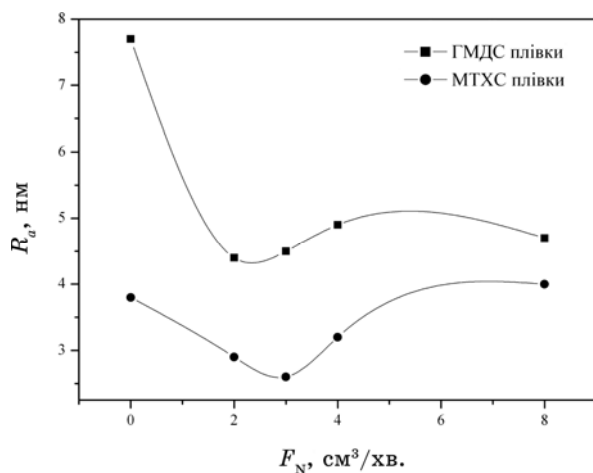


Рис. 4. Шорсткість поверхні  $R_a$  залежно від потоків азоту ГМДС-плівок і МТХС-плівок.

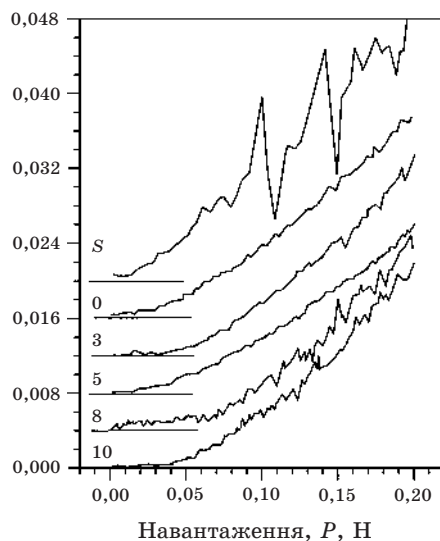


Рис. 5. Результати тестів дряпання пірамідкою Віккерса МТХС-SiCN-покриттів. Коефіцієнт тертя оцінювався в адгезійній області навантажень (коли плівка не відшаровувалась).

крипттів також має вплив їх мікроструктура.

Максимальну зносостійкість мають МТХС плівки, одержані при  $F_N = 4-5 \text{ см}^3/\text{хв.}$ , які згідно рентгенографічним дослідженням повинні бути нанокристалічними (рис. 1). Зносостійкість аморфних ГМДС-SiCN-покриттів приблизно в два рази нижча, ніж зносостій-

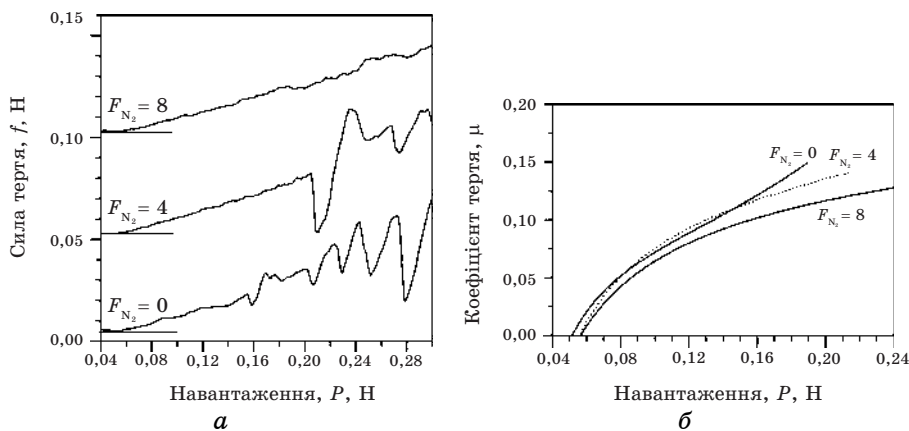


Рис. 6. Результати тестів дряпання пірамідкою Віккерса ГМДС-SiCN-покріттів.

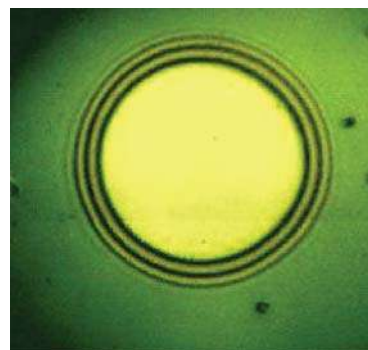
кість МТХС-покріттів. Як зазначалось раніше, деяке підвищення зносостійкості ГМДС-покріттів зі збільшенням потоку азоту можна приписати зміщенню Si-C зв'язків.

Шорсткість покріттів як функція потоку азоту показана на рис. 4. Результати трибологічних тестів показані на рис. 5 і 6. Ми допускаємо, що наявність хльору в плівках є визначальним фактором як для зниження шорсткості поверхні, так і для зниження коефіцієнту тертя SiCN покріттів: ці характеристики найнижчі в хльоромісних МТХС покріттях.

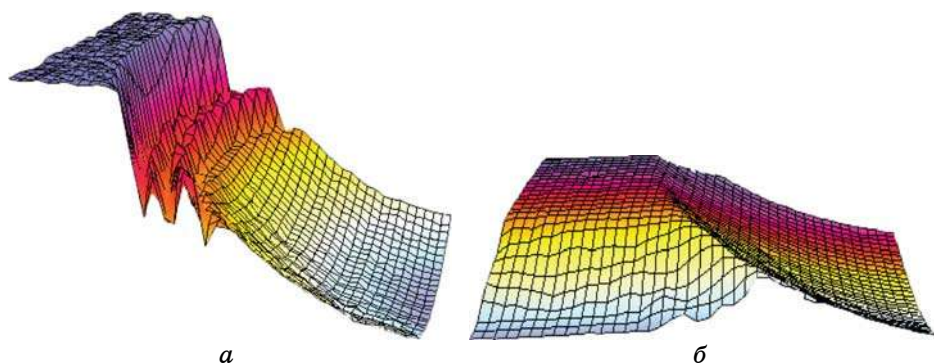
Пояснення цьому явищу дано в дослідженнях впливу хльору на коефіцієнт тертя TiN плівок [9]. Автори [9] показали, що підвищення вмісту хльору в плівках від 0 до 3 ат. % сприяє зниженню коефіцієнта тертя і шорсткості поверхні. Аналогічні висновки зроблені в роботі [10], де показано, що оброблення SiC у хльорі також сприяє зниженню коефіцієнта тертя. Ми також не виключаємо, що покращення триботехнічних характеристик МТХС плівок у порівнянні з такими ГМДС плівок може бути викликано наявністю нанокристалічних утворень в МТХС плівках (рис. 1).

Результати досліджень на дряпання (scratch tests) (рис. 5, а) свідчать, що МТХС-плівки SiCN мають достатньо високу адгезію до підкладки у порівнянні з когезійними властивостями поверхні субстрату. Якщо порівняти адгезійні властивості з плівками, одержаними з ГМДС (рис. 6, а), то до величини нормального навантаження  $P = 0,20\text{ N}$  відшарування плівок теж не спостерігається. Однак при відсутності азотування ( $F = 0$ ), тобто для карбідокремнійових (SiC) плівок, адгезія плівок ГМДС нижча. Відшарування тут відбувається вже при  $P = 0,16 \text{ N}$ .

Аналіза кратерів, утворених в результаті куля-шліф тестів, за до-



**Рис. 7.** Фотографія кратера, утвореного мікроабразивним обробленням ГМДС-покриття (куля-шліф).



**Рис. 8.** Мікрорельєф поверхні кратера зносу SiCN ГМДС-покриття (а) і МТХС-покриття (б).

помогою оптичного мікроскопу показала, що ГМДС-плівки мають багатошарову структуру у вигляді темних і світлих шарів, котрі чергуються. Типове фото кратера ГМДС-плівок показано на рис. 7.

Сканування кратерів за допомогою оптичного профілометра «Мікрон-альфа», показало, що мікроабразивний знос ГМДС-покриття відбувається нерівномірно з утворенням ступневої структури по глибині кратера зносу. Це добре видно з рис. 8, де наведені результати профілювання кратера на ГМДС покритті. Можна припустити, що м'якші темні шари обробляються легше, утворюючи вм'ятини, а світлі утворюють опукlosti, тому що твердіші. Це може свідчити про складний процес плівкоутворення: плівка осаджується нерівномірно, імпульсивно, утворюючи багатошарову структуру, кожний шар якої має різні механічні властивості.

На відміну від ГМДС-покриття, плівки, осаджені з МТХС зношуються рівномірно (рис. 8, б).

#### 4. ВИСНОВКИ

Рентгенографічні дослідження показали, що плівки, одержані із ГМСД при обраних параметрах осадження є аморфними, тоді як МТХС плівки, одержані в аналогічних умовах, при потоках азоту  $F_N \sim 3-5 \text{ см}^3/\text{xv}$ . можуть бути ідентифіковані як нанокристалічні.

В цілому ГМСД плівки демонструють нижчу зносостійкість, ніж МТХС плівки. Найвищу абразивну зносостійкість показують саме наноструктуровані МТХС покриття.

Дослідження коливань зв'язків в SiCN плівках на основі аналізи інфрачервоних спектрів вбирання (FTIR), надало можливість встановити кореляцію між посиленням Si–C зв'язків у плівках і підвищенням зносостійкості покріттів.

Допускається, що наявність хльору в МТХС плівках спричиняє зниження шорсткості поверхні. Ймовірно, цей факт є визначальним і для зниження коефіцієнта тертя хльоромістких плівок в порівнянні з ГМДС плівками, де хльор відсутній.

Плазмохемічне розвинення ГМДС здійснюється імпульсним чином, утворюючи багатошарове покриття SiCN за рахунок чергування щільних і нещільних шарів.

#### ЦИТОВАНА ЛІТЕРАТУРА

1. A. Bendeddouche, R. Berjoan, E. Beche, T. Merle-Mejean, S. Schamm, V. Serin, G. Taillades, A. Pradel, and R. Hillel, *J. Appl. Phys.*, **81**: 6147 (1997).
2. A. Bendeddouche, R. Berjoan, E. Beche, and R. Hillel, *Surf. Coat. Technol.*, **111**: 184 (1999).
3. I. Ferreira, E. Fortunato, P. Vilarinho, A. S. Viana, A. R. Ramos, E. Alves, and R. Martins, *J. Non-Cryst. Solids.*, **352**: 1361 (2006).
4. N. J. Wagner, J. Cordill, L. Zajickova, W. W. Gerberich, and J. V. R. Heberlein, *Mater. Res. Soc. Symp. Proc.*, **880E**: BB2.10.1/O3.10.1-5 (2005).
5. P. Jedrzejowski, J. Cizek, A. Amassian, J. E. Klemburg-Sapieha, J. Vlcek, and L. Martinu, *Thin Solid Films*, **447–448**: 201 (2004).
6. Л. А. Іващенко, В. І. Іващенко, О. К. Порада, С. М. Дуб, П. Л. Скринський, М. В. Ушаков, М. В. Капець, А. І. Стегній, Л. А. Грішнова, *Порошкова металургія*, **11/12**: 35 (2007).
7. K. M. Yu, M. L. Cohen, E. E. Haller, W. L. Hansen, A. Y. Liu, I. C. Wu, *Phys. Rev. B.*, **49**: 5034 (1994).
8. X. B. Yan, B. K. Tay, G. Chen, and S. R. Yang, *Electrochem. Commun.*, **8**, 737 (2006).
9. E. Badisch, M. Stoiber, G. A. Fontalvo, and C. Mitterer, *Surface and Coatings Technology*, **174–175**: 450 (2003).
10. H.-J. Choia, H.-T. Baea, J.-K. Leeb, B.-C. Nac, M. J. McNallan, and D.-S. Lima, *Wear*, **266**: 214 (2009).